

Fondamenti di Robotica: Coordinate omogenee e DH



In questa lezione introduciamo innanzitutto un modo compatto, sempre con matrici, per rappresentare la postura o combinare spostamenti rotazioni di uno o più corpi rigidi:

coordinate omogenee e matrici di trasformazione omogenea

poi descriviamo una procedura per studiare catene di più corpi rigidi

convenzione di Denavit-Hartenberg

Infine si riportano alcuni esempi di cinematica diretta ed inversa di manipolatori

Posizione/spostamento di un insieme di punti

$$[\mathbf{p}]_{\mathbf{G}} = \mathbf{R}_{\mathbf{GL}} [\mathbf{p}]_{\mathbf{L}}$$

$$[\mathbf{p}(t)]_G = [\mathbf{R}(t)]_G [\mathbf{p}(0)]_G$$

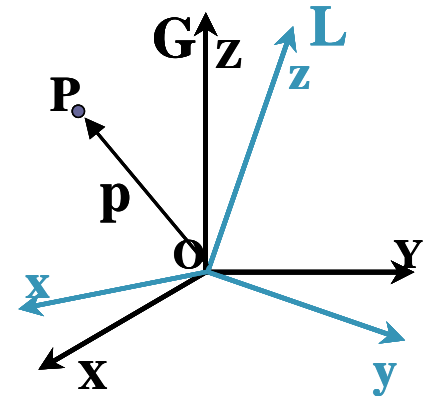
Considerando più punti

$$[p1_n]_G = R [p1_o]_G$$

$$[p2_n]_G = R [p2_o]_G$$

.....

$$[pn_n]_G = R [pn_o]_G$$



$$\begin{bmatrix} [p1_n]_G & [p2_n]_G & \dots & [pn_n]_G \end{bmatrix} = R \begin{bmatrix} [p1_o]_G & [p2_o]_G & \dots & [pn_o]_G \end{bmatrix}$$

matrice 3xn

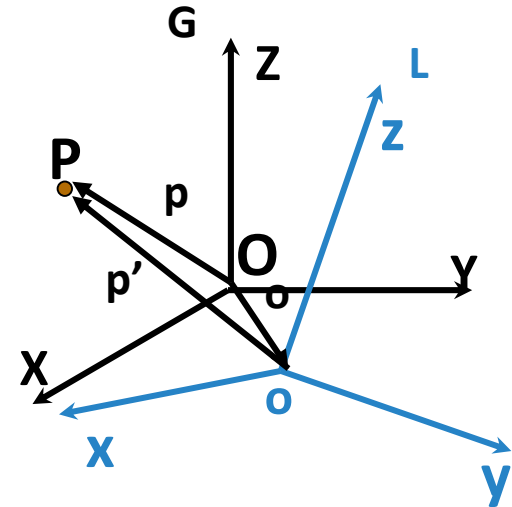
matrice 3xn

$$\mathbf{P}_n = \mathbf{R} \mathbf{P}_o$$

Rotazione + traslazione/shift origine

Posizione

$$[p]_G = [o]_G + R_G [p']_L$$



Trasformazione affine ma non lineare
per lineare devono valere

omogeneità $L(\alpha \underline{p}) = \alpha L(\underline{p})$

additività $L(\underline{p}_1 + \underline{p}_2) = L(\underline{p}_1) + L(\underline{p}_2)$

Coordinate omogenee

Trasformazione omogenea ha forma più compatta

$$[p]_G \rightarrow \{p\}_G = \begin{Bmatrix} [p]_G \\ 1 \end{Bmatrix}$$
$$[p]_G = R_G [p']_L + [o]_G \quad \curvearrowright$$

$$\{p\}_G = \begin{Bmatrix} [p]_G \\ 1 \end{Bmatrix} = T \begin{Bmatrix} [p']_L \\ 1 \end{Bmatrix}$$

Matrice trasf.
omogenea

$$T = \begin{pmatrix} R_G & [o]_G \\ 0 & 1 \end{pmatrix}$$

Trasformazione inversa

$$[p']_L = R_G^T [p]_G - R_G^T [o]_G = R_G^T [p]_G + [-o]_L$$

$$\{p'\}_L = \begin{Bmatrix} [p']_L \\ \mathbf{1} \end{Bmatrix} = \mathbf{T}^{-1} \begin{Bmatrix} [p]_G \\ \mathbf{1} \end{Bmatrix}$$

$$\mathbf{T}^{-1} = \begin{Bmatrix} \mathbf{R}^T & [-o]_L \\ \mathbf{0} & \mathbf{1} \end{Bmatrix}$$

$$\mathbf{T}^{-1} \neq \mathbf{T}^T$$

non ortogonale

Osservazione

In coordinate omogenee si fa distinzione tra le coordinate di un punto e le componenti del vettore posizione nello stesso riferimento.

$[p]_G$ coordinate cartesiane: componenti e coordinate coincidono

Ricordando che è $\mathbf{p} = \overrightarrow{OP} = P - O$

vettore come differenza di punti

Ha senso fare la differenza di punti ma non la somma, mentre si fa la somma di un punto e di un vettore.

$$\{\mathbf{P}\}_G = \begin{Bmatrix} [\mathbf{P}]_G \\ \mathbf{1} \end{Bmatrix} \quad \text{Definisce il punto P}$$

$$\{\mathbf{v}\}_G = \begin{Bmatrix} [\mathbf{v}]_G \\ \mathbf{0} \end{Bmatrix} \quad \text{Definisce il vettore}$$

Esempio

Aggiornare le coordinate in seguito ad una traslazione:

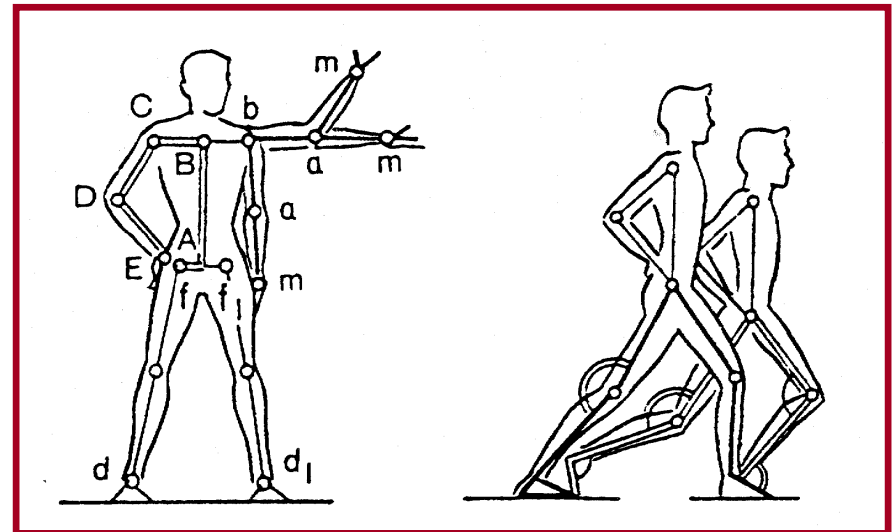
$$\{\mathbf{p}_{new}\}_G = \begin{Bmatrix} [\mathbf{p}_{new}]_G \\ \mathbf{1} \end{Bmatrix} = \begin{Bmatrix} [\mathbf{p}_{old}]_G \\ \mathbf{1} \end{Bmatrix} + \begin{Bmatrix} [\mathbf{d}]_G \\ \mathbf{0} \end{Bmatrix}$$

Posizione/movimento di un **sistema di corpi rigidi**

Per lo studio della posizione e del movimento del corpo umano si utilizzano metodi della robotica per i manipolatori/robot

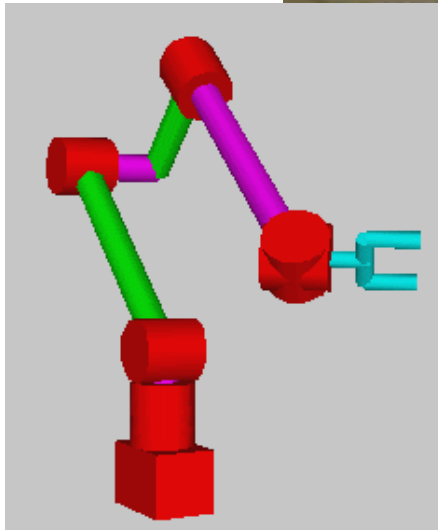
Insieme di corpi rigidi collegati attraverso giunti
= **catena cinematica**

Catena:
aperta o chiusa
ramificata

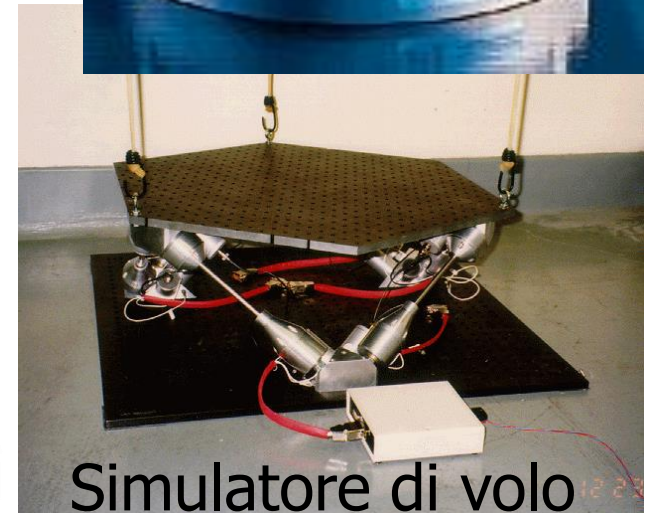


Manipolatori

seriali

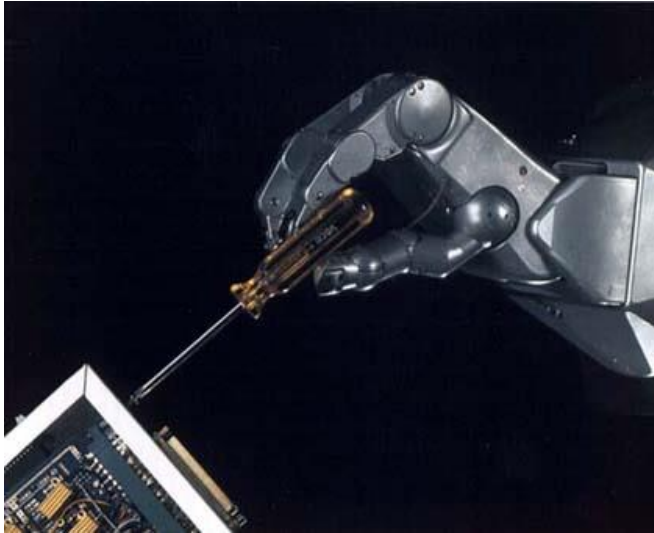


paralleli

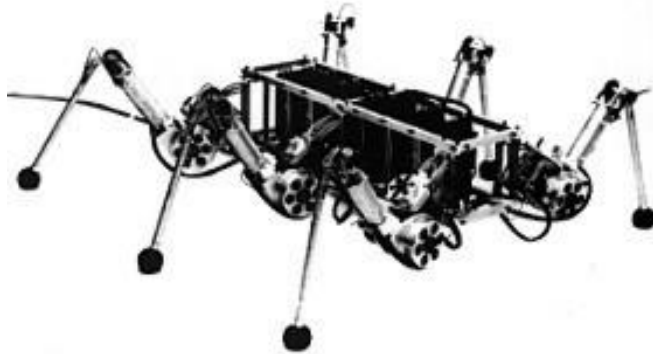


Simulatore di volo

Mani robotiche



Walking machines



Definizioni

Link: corpo rigido (elemento della catena)

Joints: giunti (articolazioni)

End effector: ultimo elemento catena

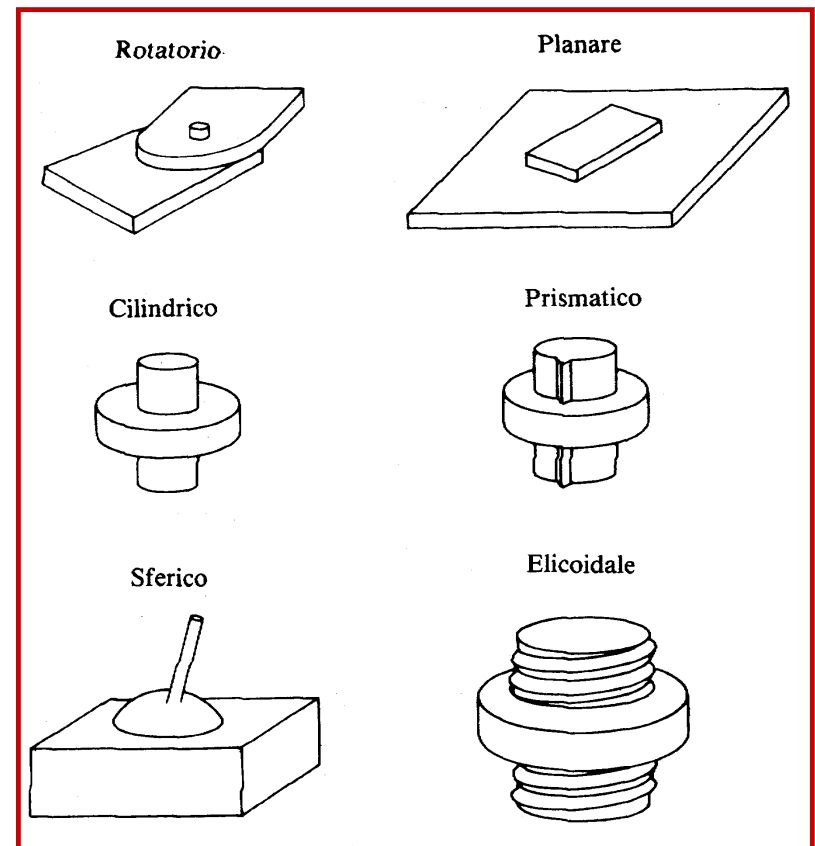
Vincoli

- Olonomi $f(x, t) = 0$
indipendenti dalla velocità
scleronomi (indip. tempo)

$f(x) = 0$
reonomi (dip. tempo)

$$f(x, t) = 0$$

- Anolomi $f(x, \dot{x}, t) = 0$
rotolamento ss



Mobilità di una catena cinematica (f): DOF totale

Posizionamento dell'*end effector*

arbitrario (pos. e orient.) richiede mobilità ≥ 6

$f=6 \rightarrow$ almeno 1 sol.

$f>6 \rightarrow \infty$ sol.

Manovrabilità (m) $m = f - 6$

Postura dell'organo terminale richiede 6 coordinate
(3 coord. posizione origine $\mathbf{p0}$ +3 angoli Eulero o RPY λ)

$$\mathbf{x} = \begin{bmatrix} \mathbf{p0} \\ \lambda \end{bmatrix} \quad \mathbf{x} \in \text{spazio operativo } \mathbf{So}$$

Analisi cinematica

1. cinematica diretta

note posizioni dei giunti $q \rightarrow$ posizione *end effector* x

$$x=f(q)$$

2. cinematica inversa

nota posizione *end effector* $x \rightarrow$ posizione dei giunti q

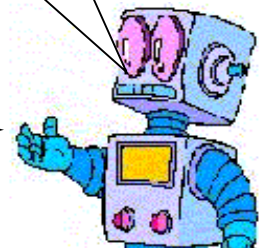
$$q=f^{-1}(x)$$

$$q = \begin{bmatrix} q_1 \\ \dots \\ q_n \end{bmatrix}$$

$q \in$ spazio dei giunti Sg o
spazio delle configurazioni

Where is my hand?

Direct Kinematics:
HERE!



Cinematica diretta: convenzione Denavit-Hartenberg

- *Links* collegati in catena aperta da giunti ad 1

gdm*:

rotoidali (R)

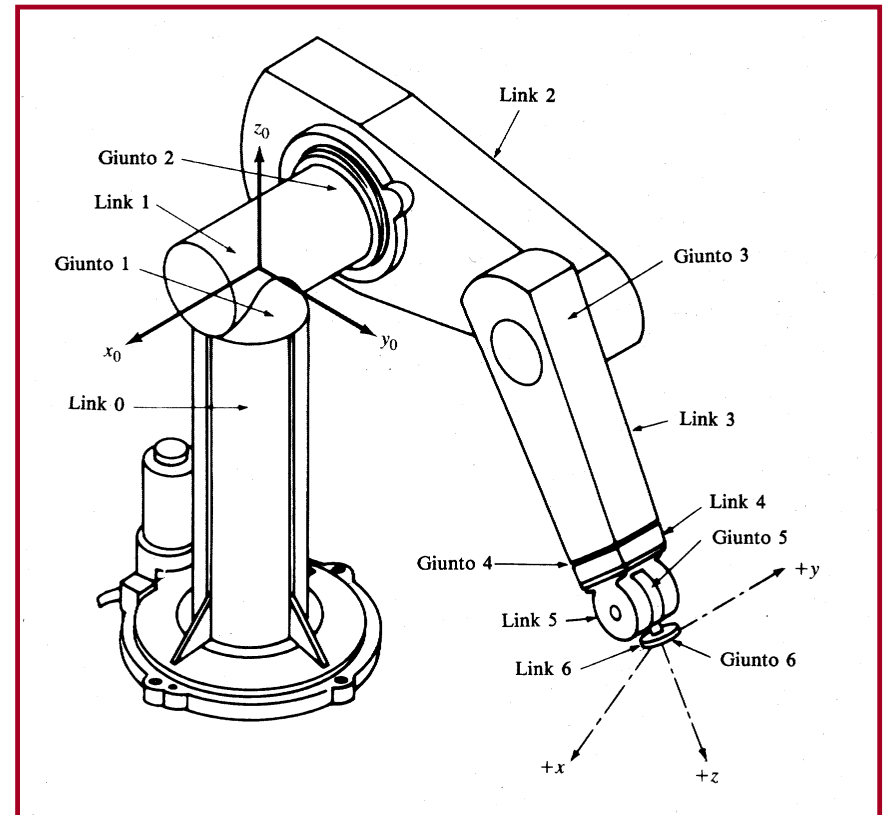
traslazionali (P)

$n+1$ links (con telaio)

- Variabili di giunto

→ q

Vettore $n \times 1$



* gdm= grado di mobilità (dei giunti)

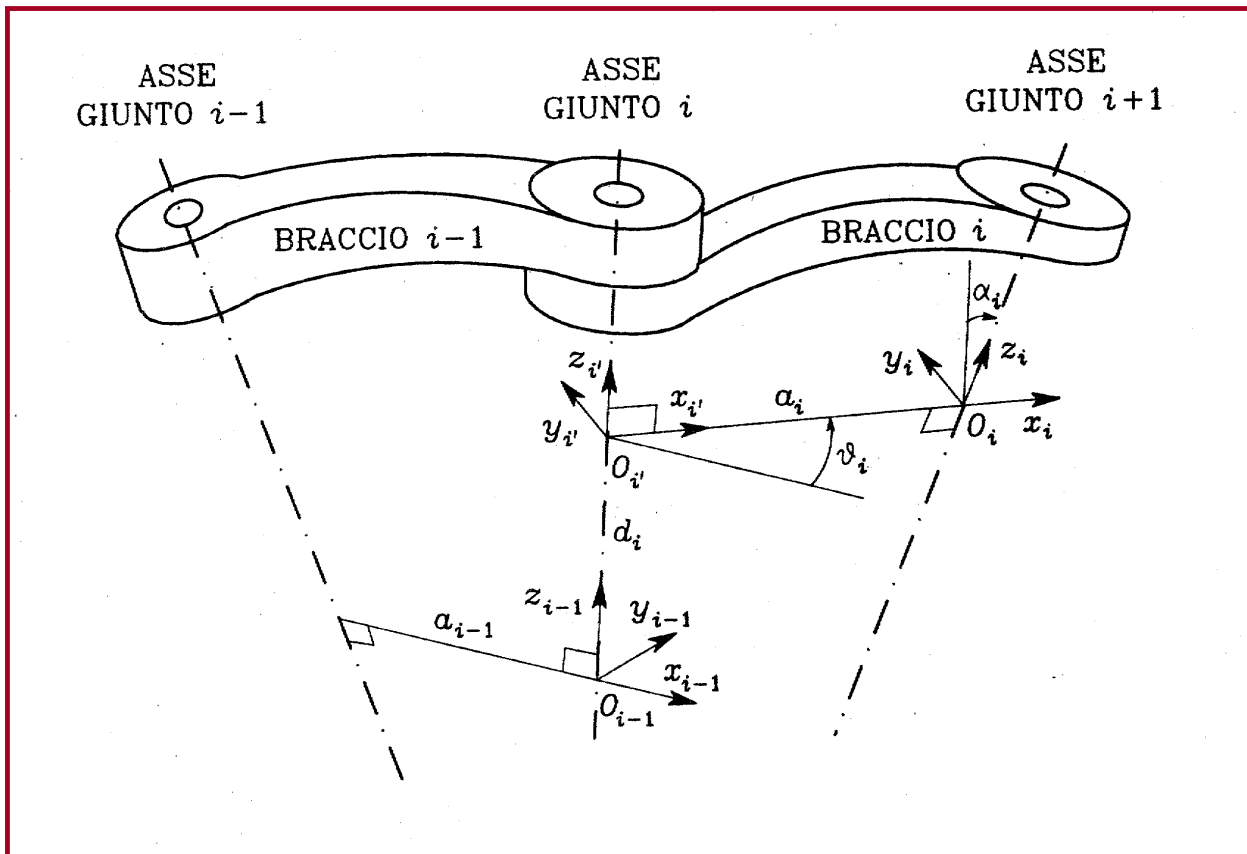
Procedura per la costruzione delle terne locali

1. Individuare assi dei giunti \rightarrow assi z (da z_0 a z_{n-1})
2. Scegliere asse z_n su end effector
3. Fissare terna base (x_0, y_0, z_0) (x_0, y_0 arbitrari)
4. Individuare asse x_i come retta min dist tra z_{i-1} e z_i verso da z_{i-1} a z_i
5. Da intersezione x_i e z_i si fissa l'origine O_i
6. Definire asse y_i per avere terna levogira
7. Definire la tabella con i parametri

Osserva che la terna (O_i, x_i, y_i, z_i) solidale al *link i* si costruisce sul giunto distale.

Procedura

Asse giunto (z)
Rette ortogonali (x)
Levogira $\rightarrow y$



variabili di giunto:
 θ - giunti R
 d - giunti P

Parametri
geometrici:
 $\alpha, a, d/\theta$

$L(i-1) \rightarrow L'(i)$

rispetto all'asse z_{i-1} traslazione di d e rotazione θ

$$A_{i'}^{i-1} = \begin{bmatrix} c_{\vartheta_i} & -s_{\vartheta_i} & 0 & 0 \\ s_{\vartheta_i} & c_{\vartheta_i} & 0 & 0 \\ 0 & 0 & 1 & d_i \\ 0 & 0 & 0 & 1 \end{bmatrix}$$

$$A_i^{i'} = \begin{bmatrix} 1 & 0 & 0 & a_i \\ 0 & c_{\alpha_i} & -s_{\alpha_i} & 0 \\ 0 & s_{\alpha_i} & c_{\alpha_i} & 0 \\ 0 & 0 & 0 & 1 \end{bmatrix}$$

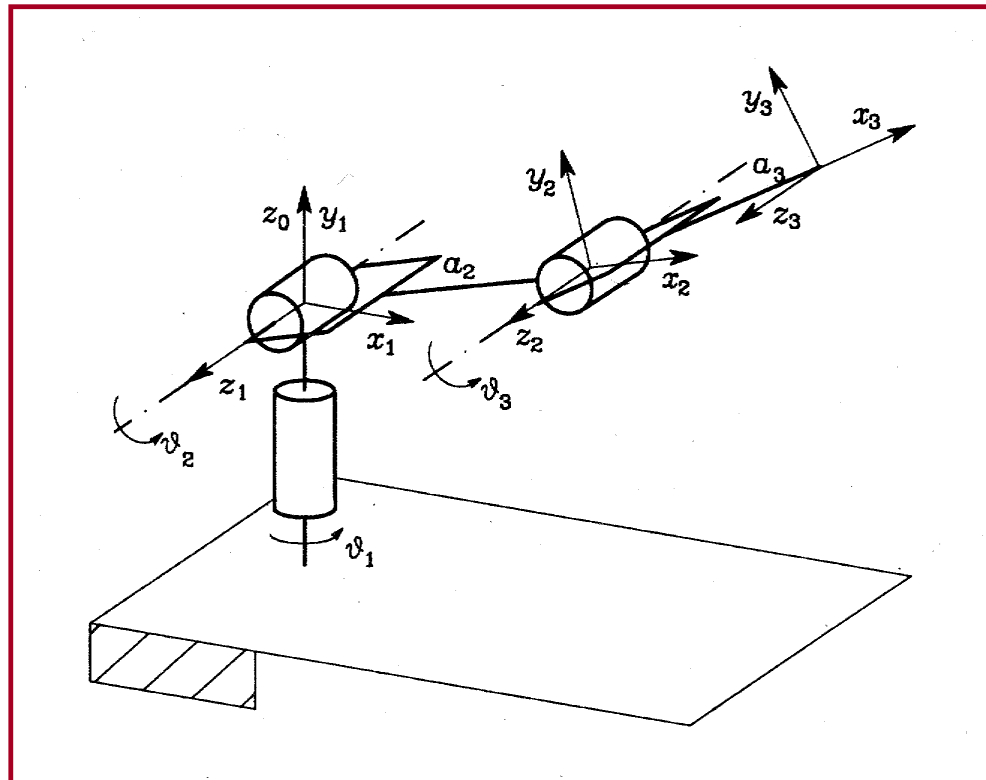
$L'(i) \rightarrow L(i)$

rispetto all'asse x_i traslazione di a e rotazione α

$L(i-1) \rightarrow L(i)$

$$A_i^{i-1}(q_i) = A_{i'}^{i-1} A_i^{i'} = \begin{bmatrix} c_{\vartheta_i} & -s_{\vartheta_i} c_{\alpha_i} & s_{\vartheta_i} s_{\alpha_i} & a_i c_{\vartheta_i} \\ s_{\vartheta_i} & c_{\vartheta_i} c_{\alpha_i} & -c_{\vartheta_i} s_{\alpha_i} & a_i s_{\vartheta_i} \\ 0 & s_{\alpha_i} & c_{\alpha_i} & d_i \\ 0 & 0 & 0 & 1 \end{bmatrix}$$

Esempio: braccio antropomorfo



Braccio	a_i	α_i	d_i	ϑ_i
1	0	$\pi/2$	0	ϑ_1
2	a_2	0	0	ϑ_2
3	a_3	0	0	ϑ_3

Matrici di trasformazione

$$\mathbf{A}_1^0(\vartheta_1) = \begin{bmatrix} c_1 & 0 & s_1 & 0 \\ s_1 & 0 & -c_1 & 0 \\ 0 & 1 & 0 & 0 \\ 0 & 0 & 0 & 1 \end{bmatrix}$$

Da telaio a
primo *link*

$$\mathbf{A}_i^{i-1}(\vartheta_i) = \begin{bmatrix} c_i & -s_i & 0 & a_i c_i \\ s_i & c_i & 0 & a_i s_i \\ 0 & 0 & 1 & 0 \\ 0 & 0 & 0 & 1 \end{bmatrix} \quad i = 2, 3$$

Da primo *link*
a *end effector*

$$c_i = \cos(\theta_i) \quad s_i = \sin(\theta_i)$$

$$\mathbf{T}_3^0(\mathbf{q}) = \mathbf{A}_1^0 \mathbf{A}_2^1 \mathbf{A}_3^2 = \begin{bmatrix} c_1 c_{23} & -c_1 s_{23} & s_1 & c_1(a_2 c_2 + a_3 c_{23}) \\ s_1 c_{23} & -s_1 s_{23} & -c_1 & s_1(a_2 c_2 + a_3 c_{23}) \\ s_{23} & c_{23} & 0 & a_2 s_2 + a_3 s_{23} \\ 0 & 0 & 0 & 1 \end{bmatrix}$$

$$c_{ij} = \cos(\theta_i + \theta_j) \quad s_{ij} = \sin(\theta_i + \theta_j)$$

Cinematica inversa

richiami

- descrizione del problema:
nota la posizione EE (inclusa orientazione), trovare le variabili di giunto
 - Direct Kinematics Problem (DKP)** -> Soluzione unica
 - Inverse Kinematics Problem (IKP)** -> Può avere più soluzioni, non sempre risolvibile (Kinematic Invertibility)
- Equazioni della IKP sono tipicamente altamente non lineari, risolvibili in forma chiusa solo per alcuni casi particolari.
- Generalmente i manipolatori richiedono metodi numerici per la soluzione del problema

spazio di lavoro SL regione descritta dall'origine terna
utensile

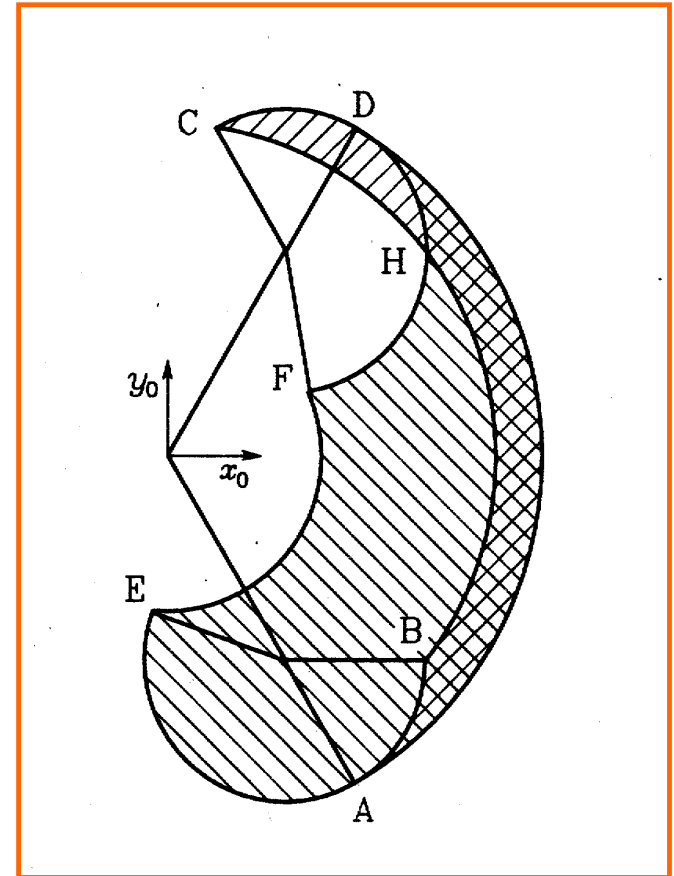
$$p0 = g(q)$$

con $g: q \in Sg \rightarrow p0 \in SL$

si fa cinematica inversa
anche della sola posizione

$$q = g^{-1}(p0)$$

con $g^{-1}: p0 \in SL \rightarrow q \in Sg$

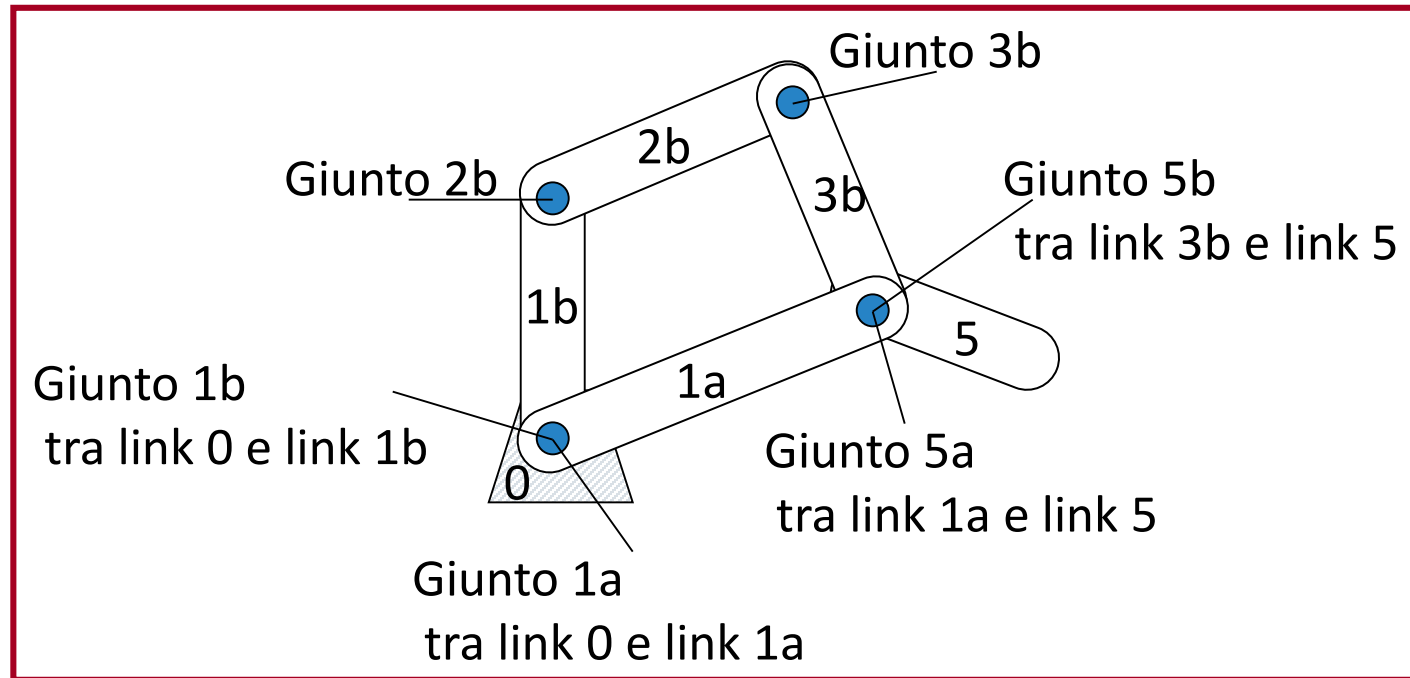


Appendice

Estensione del metodo di DH alla catena chiusa

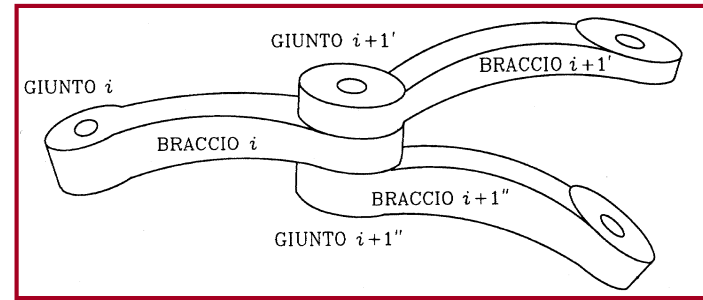
Numero dei giunti $l >$ numero dei corpi n

$l - n$ numero di anelli chiusi



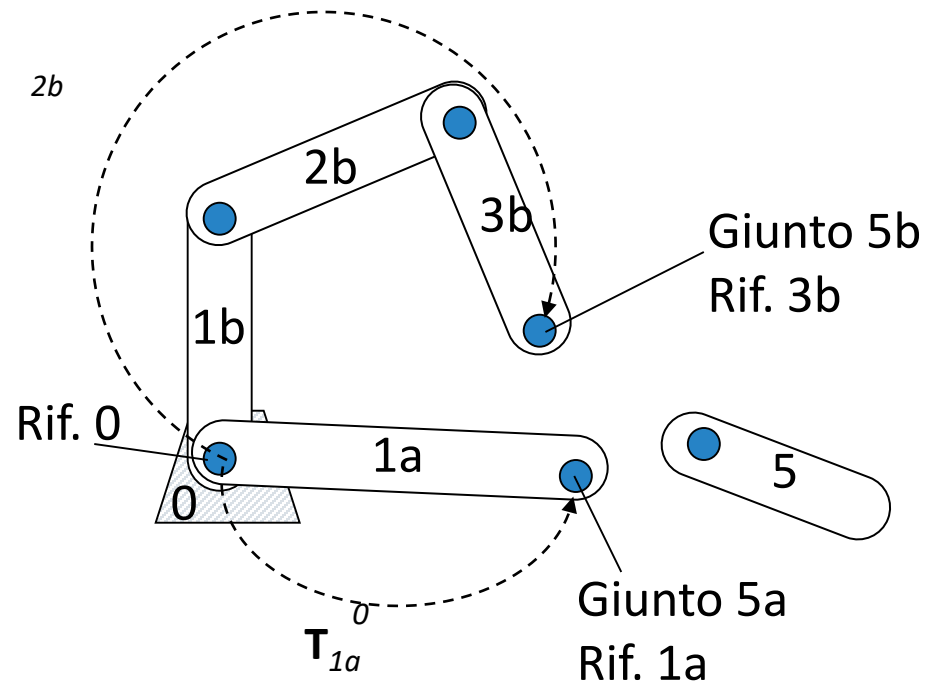
5 corpi $\rightarrow n=5$
6 giunti $\rightarrow l=6$
 $\rightarrow 1$ anello chiuso

Attenzione numero di giunti:



Apertura della catena

$$T_{3b}^0 = T_{1b}^0 T_{2b}^0 T_{3b}^{1b} \quad 1b \quad 2b$$



trasformazione

$$T_5^0 = T_{1b}^0 T_{2b}^0 T_{3b}^{1b} T_5^{1b} \quad 2b \quad 3b$$

$$O \quad T_5^0 = T_{1a}^0 T_5^0 \quad 1a$$

Si osserva ora che i riferimenti 3b e 1a sono sullo stesso giunto 5a per cui devono avere :

stesso asse Z

$$[k_{3b}]_0 = [k_{1a}]_0$$

e

giunto R

distanza costante tra le origini

$$[o_0 o_{3b}]_{3b} - [o_0 o_{1a}]_{3b} = [0, 0, d]^T$$

giunto P

orientamento assi costante

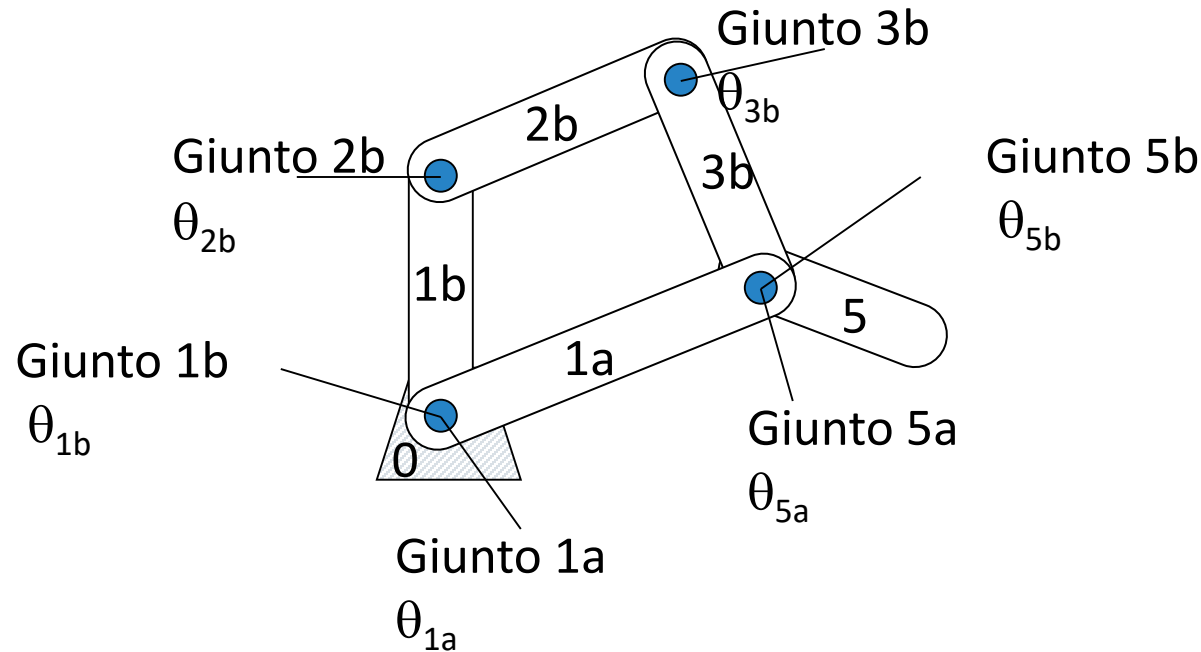
$$[i_{3b}]^T [i_{1a}] = \cos(\theta_{3b-1a})$$

spostamento tra origini solo in z

$$\begin{bmatrix} 1 & 0 & 0 \\ 0 & 1 & 0 \end{bmatrix} [o_0 o_{3b} - o_0 o_{1a}]_{3b} = \begin{bmatrix} 0 \\ 0 \end{bmatrix}$$

In tutto 6 condizioni

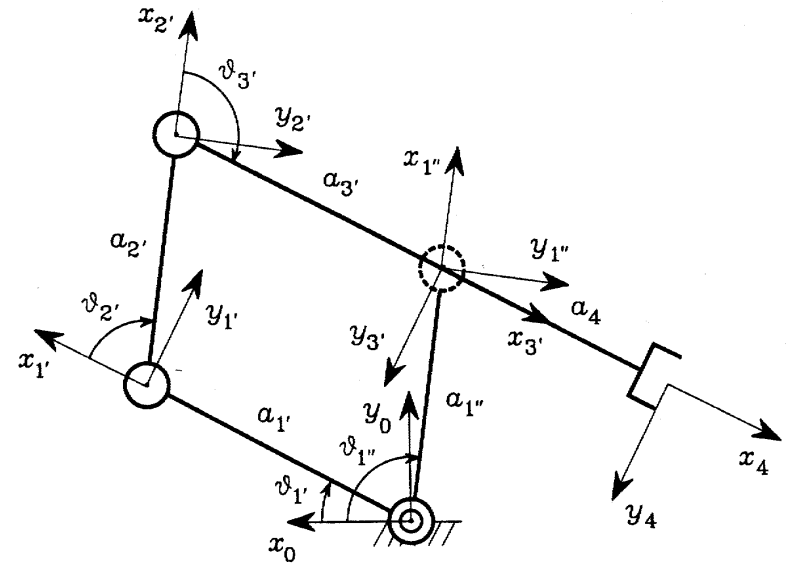
E' importante notare che le variabili di giunto in una catena chiusa non sono indipendenti per cui occorre individuare gli effettivi gradi di mobilità del sistema.



$$6 \text{ giunti ma } f=3 \quad \mathbf{q} = \begin{bmatrix} \theta_{1a} \\ \theta_{1b} \\ \theta_{5b} \end{bmatrix}$$

Esempio (da Siciliano Sciavicco): Manipolatore a parallelogramma

La catena chiusa viene aperta
nel giunto 4 (giunto di taglio)



Si noti che i parametri per il braccio 4 sono tutti costanti. Dal momento che i giunti sono rotoidali, la matrice di trasformazione omogenea definita in (2.47) ha la stessa struttura per tutti i giunti, ovvero come nella (2.57) per i giunti 1', 2', 3' e 1''. Pertanto, le trasformazioni di coordinate per i due rami dell'albero risultano rispettivamente:

$$A_{3'}^0(q') = A_{1'}^0 A_{2'}^{1'} A_{3'}^{2'} = \begin{bmatrix} c_{1'2'3'} & -s_{1'2'3'} & 0 & a_{1'}c_{1'} + a_{2'}c_{1'2'} + a_{3'}c_{1'2'3'} \\ s_{1'2'3'} & c_{1'2'3'} & 0 & a_{1'}s_{1'} + a_{2'}s_{1'2'} + a_{3'}s_{1'2'3'} \\ 0 & 0 & 1 & 0 \\ 0 & 0 & 0 & 1 \end{bmatrix}$$

ove $q' = [\vartheta_{1'} \quad \vartheta_{2'} \quad \vartheta_{3'}]^T$, e

$$A_{1''}^0(q'') = \begin{bmatrix} c_{1''} & -s_{1''} & 0 & a_{1''}c_{1''} \\ s_{1''} & c_{1''} & 0 & a_{1''}s_{1''} \\ 0 & 0 & 1 & 0 \\ 0 & 0 & 0 & 1 \end{bmatrix}$$

Braccio	a_i	α_i	d_i	ϑ_i
1'	$a_{1'}$	0	0	$\vartheta_{1'}$
2'	$a_{2'}$	0	0	$\vartheta_{2'}$
3'	$a_{3'}$	0	0	$\vartheta_{3'}$
1''	$a_{1''}$	0	0	$\vartheta_{1''}$
4	a_4	0	0	0

ove $q'' = \vartheta_{1''}$. Per completare, la trasformazione omogenea costante per l'ultimo braccio è

$$A_4^{3'} = \begin{bmatrix} 1 & 0 & 0 & a_4 \\ 0 & 1 & 0 & 0 \\ 0 & 0 & 1 & 0 \\ 0 & 0 & 0 & 1 \end{bmatrix}.$$

Con riferimento alla (2.54), i vincoli sulla posizione risultano ($d_{3'1''} = 0$)

$$R_0^{3'}(q') (p_{3'}^0(q') - p_{1''}^0(q'')) = \begin{bmatrix} 0 \\ 0 \\ 0 \end{bmatrix}$$

mentre i vincoli sull'orientamento sono soddisfatti indipendentemente da q' e q'' . Poiché $a_{1'} = a_{3'}$ e $a_{2'} = a_{1''}$, è possibile estrarre due vincoli indipendenti:

$$a_{1'}(c_{1'} + c_{1'2'3'}) + a_{1''}(c_{1'2'} - c_{1''}) = 0$$

$$a_{1'}(s_{1'} + s_{1'2'3'}) + a_{1''}(s_{1'2'} - s_{1''}) = 0.$$

Per soddisfarli, qualunque sia la scelta di $a_{1'}$ e $a_{1''}$, bisogna imporre

$$\begin{aligned} \vartheta_{2'} &= \vartheta_{1''} - \vartheta_{1'} \\ \vartheta_{3'} &= \pi - \vartheta_{2'} = \pi - \vartheta_{1''} + \vartheta_{1'} \end{aligned} \quad (2.59)$$

Pertanto, il vettore delle variabili di giunto risulta $q = [\vartheta_{1'} \quad \vartheta_{1''}]^T$. La scelta di attuare questi giunti è pressoché naturale.⁹ Sostituendo le espressioni di $\vartheta_{2'}$ e $\vartheta_{3'}$ nella trasformazione omogenea A_3^0 , e calcolando la funzione cinematica diretta come nella (2.56), si ottiene

$$T_4^0(q) = A_3^0(q) A_4^{3'} = \begin{bmatrix} -c_{1'} & s_{1'} & 0 & a_{1''}c_{1''} - a_4c_{1'} \\ -s_{1'} & -c_{1'} & 0 & a_{1''}s_{1''} - a_4s_{1'} \\ 0 & 0 & 1 & 0 \\ 0 & 0 & 0 & 1 \end{bmatrix}. \quad (2.60)$$